

名古屋大学工学部 中部工業大学 名古屋大学工学部	正員 〃 〃	松沢 宏 市原松平 森 富雄
--------------------------------	--------------	----------------------

### 1. まえがき

室内実験用の土圧計には、小型であること、小さな圧力に対して安定した確実な作動を示すことが要求される。このために室内実験用の小型土圧計の開発には、現場用の計器の開発以上に数多くの難しさがある。

筆者らは、かねてより弱圧用の小型土圧計の開発を行なってきたが、ここでは、新たに試作した2種類の計器の歴史における作動特性について報告する。

### 2. 小型土中土圧計

試作した土圧計Aの断面図を図-1に示し、土圧計Bの断面図を図-2に示す。土圧計A, Bを6個づつ試作した。これら2つの型の土圧計は、最大

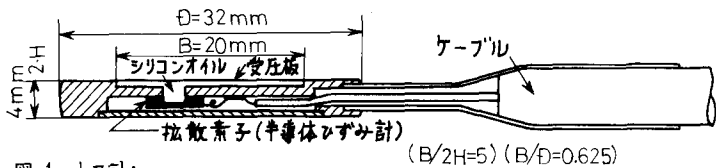


図-1 土圧計A

計測圧力が  $1 \text{ kg/cm}^2$  のダイヤフレーム型・間接作動型のものであるが、ひずみの検出には、土圧計Aでは半導体ひずみ計、土圧計Bでは、箔ひずみ計を用いている。 $1 \text{ kg/cm}^2$  の圧力に対して、土圧計Aでは、ゲージからの出力が  $90 \text{ mV}$  程度であり、土圧計Bでは、受圧板の変位を極力小にするためにその出力を  $600 \mu\text{Vst}$  前後に押えている。なお、これらの計器の受圧板中央の変位量は受圧板の有効径Bとの比  $\delta/B$  の公称値は、土圧計Aで、 $\delta/B = 0.35 \times 10^{-4}$ 、土圧計Bで、 $\delta/B = 0.44 \times 10^{-3}$  である。これら土圧計の水圧検定を行なった結果、直線性がよく、加圧・減圧によるヒステリシスループのないことが確認された。

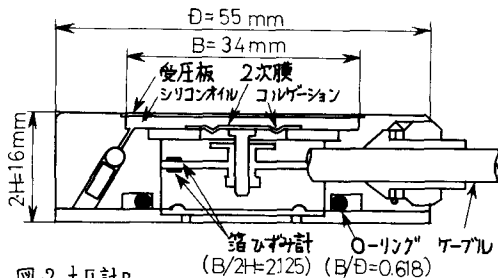


図-2 土圧計B

### 3. 検定土槽ならびに実験に使用した砂

土圧計の検定には、内径58cm、深さ47.5cmの軟鋼製の土槽を使用した。また実験に用いた砂は、気乾燥の豊浦標準砂である。この砂は、比重  $G_s = 2.647$ 、最大粒径  $D_{max} = 0.3 \text{ mm}$ 、有効径  $D_{e0} = 0.16 \text{ mm}$  である。

### 4. 砂圧検定

計器の据え付けに際しては、中詰め砂を土槽内に土槽底面から約32cmの高さまで流し込んだ後、土槽の中心軸上で計器の受圧板を上向きにして水平に据え付けた。この状態で計器のゼロ点の調整を行ない、1回の検定が終るまでゼロ点の調整をしなかった。計器を据え付けた後、土圧計の受圧板の土かぶり(区)が、5~10cmになるように中詰め砂を流れ込み、棒状バイブレーターを使用して中詰め砂を締め固めて、そのてんぱ面を水平にした。以上のように据え付けた土圧計に対して、中詰め砂のてんぱ面上にビニールシートを通して空気圧を最大  $1 \text{ kg/cm}^2$  まで徐々に加圧し(加圧の速さ:  $0.1 \text{ kg/cm}^2/\text{分}$ )、載荷圧力  $0.2 \text{ kg/cm}^2$ ごとに指示計の読みを取り、同様に減圧して、各圧力の読みを取った。1回の検定に対して、この加圧・減圧は、5回連続( $N=1 \sim 5$ )して行なった。なお、区は、検定終了後、中詰め砂のてんぱから受圧板までの深さを計測した値を採用した。

### 5. 土圧計Aと土圧計Bの作動特性

図-3に土圧計A、図-4に土圧計Bの砂圧検定線の1例を示す。土圧計A, Bはともに、同一圧力の水圧よ

りも大きな圧力を計測しており、空気圧 $p_0 = 1 \text{ kg/cm}^2$ 作用時の応力集中係数 $\eta_m/p_0$ の値は、図中に示すとおりである。ここに、 $p_0$ は計測した圧力であり、 $p_0$ は加えた圧力( $p_0 + \eta_m p_0$ )である。また、載荷時と除荷時の検定線は重なると図のような特性が得られた。繰り返し載荷回数 $N = 1$ において、土圧計A, Bともに載荷時

の非直線性は、1%程度であり、除荷時の非直線性は、土圧計Aで5%、土圧計Bで9%であった。また、このときのループ量は、土圧計Aで5.4%，土圧計Bで8.9%であった。

#### 6. 中詰め砂の密度を変えた実験

図-5に、中詰め砂の初期単位体積重量 $\gamma_m$ と $\eta_m/p_0$ の関係を $N = 5$ について示す。これを見ると、 $\gamma_m \approx 1.40 \text{ g/cm}^3$ のやるい砂では、土圧計Aで $\eta_m/p_0 \approx 1.16$ 、土圧計Bで $\eta_m/p_0 \approx 1.23$ を示し、 $\gamma_m \approx 1.57 \text{ g/cm}^3$ の密な砂では、土圧計A, Bとともに $\eta_m/p_0 \approx 1.07$ を示している。 $\gamma_m \approx 1.48 \text{ g/cm}^3$ の中位の砂において、土圧計Aの $\eta_m/p_0$ の値が大きくなっているものの、土圧計A, Bとともに、 $\gamma_m$ の増加とともに、 $\eta_m/p_0$ の値は減少する傾向にある。このことは、 $N = 1$ においても見られた。

次に、図-6に示す $\eta_m$ とループ量の関係を見ると、土圧計Aのループ量は、やるい砂でほぼ2%，密な砂でほぼ3%を示し、 $\gamma_m$ の増加とともに、その値はわずかに大きくなっている。また、土圧計Bについて見ると、密な砂・やるい砂でのループ量は、ほぼ6.5%であるが、中位の砂では、それよりも2%程度小さな値を示している。なお、 $N = 1$ におけるループ量は、土圧計Bでは、 $N = 5$ よりも1~2.5%程度大きな値であったが、土圧計Aでは、 $N = 5$ におけるループ量と大差がなかった。

#### 7. 結語

受圧板の許容変位量と変換器の出力との関連により、弱圧用小型土圧計の開発は困難である。変換器に半導体ひずみ計を使用したことで、出力をフルスケールまで使用可能な、小型で偏平な、 $1 \text{ kg/cm}^2$ 用の土中土圧計を開発することができた。この土圧計(土圧計A)は、箔ひずみ計を用いた土圧計Bよりも小型であるにもかかわらず、直線性、ループ量および応力集中係数において良い特性を示した。土圧計Aにおける2~3%のループ量については検討の余地があるが、この程度のループがあつても、模型実験には十分使用できる。土圧計Bでは出力を $1/4$ ~ $1/10$ に押えたが、4~6.5%のループを生じた。このループ量をさらに小にする工夫が必要である。

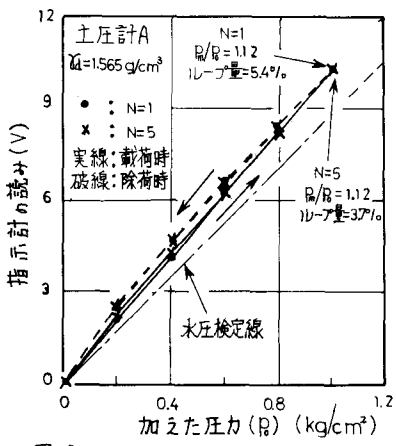


図-3

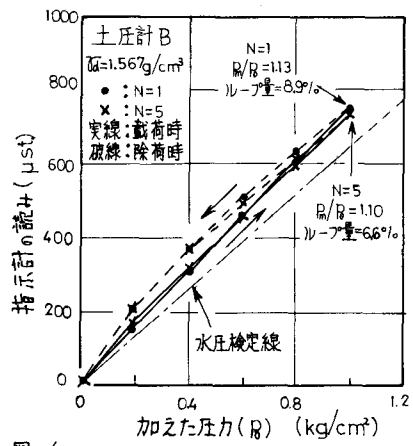


図-4

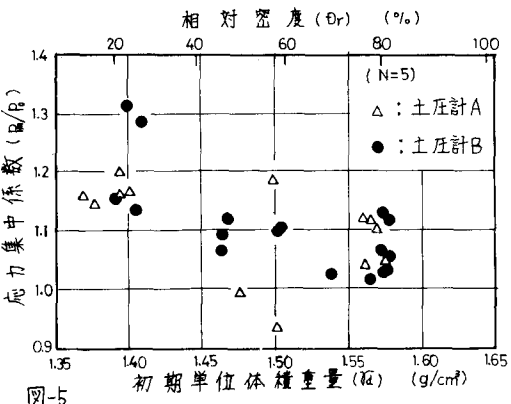


図-5

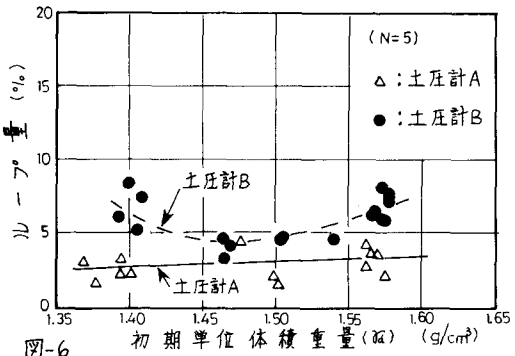


図-6